

## Фазовая $H-T$ -диаграмма многослойной пленки Gd/Si/Co с ферримагнитным упорядочением слоев

Д. Н. Меренков, А. Б. Чижик, С. Л. Гнатченко

Физико-технический институт низких температур им. Б. И. Веркина НАН Украины  
пр. Ленина, 47, г. Харьков, 61164, Украина  
E-mail: merenkov@ilt.kharkov.ua

М. Баран, Р. Шимчак

Institute of Physics, Polish Academy of Sciences, Al. Lotników 32/46, 02-668 Warsaw, Poland

В. О. Васьковский, А. В. Свалов

Уральский государственный университет, пр. Ленина, 51, г. Екатеринбург, 620083, Россия

Статья поступила в редакцию 27 июля 2000 г.

Проведены магнитометрические и магнитооптические исследования процесса намагничивания многослойной пленки  $[Co(30 \text{ \AA})/Si(5 \text{ \AA})/Gd(75 \text{ \AA})/Si(5 \text{ \AA})]_{20}$ , имеющей ферримагнитное упорядочение магнитных моментов слоев кобальта и гадолиния и температуру компенсации  $T_{\text{comp}} \approx 118 \text{ К}$ . Обнаружен индуцированный магнитным полем спин-ориентационный переход из коллинеарного в неколлинеарное состояние. В температурном интервале 5–140 К определены поля перехода и построена магнитная фазовая  $H-T$ -диаграмма многослойного ферримагнетика Gd/Si/Co. Фазовая диаграмма также рассчитана в рамках теории молекулярного поля, получено удовлетворительное согласие с экспериментальными результатами. Установлена константа антиферромагнитного обменного взаимодействия между слоями кобальта и гадолиния.

Проведено магнітометричні і магнітооптичні дослідження процесу намагнічування багатошарової плівки  $[Co(30 \text{ \AA})/Si(5 \text{ \AA})/Gd(75 \text{ \AA})/Si(5 \text{ \AA})]_{20}$  з феримагнітним впорядкуванням магнітних моментів шарів кобальту і гадолінію та температурою компенсації  $T_{\text{comp}} \approx 118 \text{ К}$ . Виявлено індуктований магнітним полем спін-орієнтаційний перехід з колінеарного в неколінеарний стан. В температурному інтервалі 5–140 К визначено поля переходу і побудована магнітна фазова  $H-T$ -діаграма багатошарового феримагнетика Gd/Si/Co. Фазову діаграму також чисельно розраховано у межах теорії молекулярного поля, одержано задовільну згоду з даними експерименту. Визначено константу антиферомагнітної обмінної взаємодії між шарами кобальту і гадолінію.

PACS: 75.70.Cn, 75.50.Gg, 75.30.Kz

### Введение

Одним из видов тонких многослойных пленок, интенсивно исследуемых в настоящее время, являются структуры, состоящие из чередующихся слоев металлов двух различных типов: редкоземельного (РЗМ) и переходного (ПМ). В результате обменного взаимодействия через интерфейс магнитные моменты этих слоев оказываются упорядоченными антипараллельно. Поэтому такие структуры обнаруживают свойства, подобные свойствам классических ферримагнетиков, в частности компенсацию магнитных моментов и спин-ориентационные переходы под действием внешне-

го магнитного поля. Такие искусственно полученные ферримагнитные системы исследованы, например, в виде пленок Gd/Fe [1] и Gd/Co [2], причем эти объекты вследствие своей слоистой структуры проявляли также специфические свойства, не присущие обычным ферримагнетикам.

Процесс перемагничивания ферримагнитных многослойных пленок был впервые теоретически описан Камлеем и Тилли [3]. Согласно этой модели, при отсутствии магнитокристаллографической анизотропии в идеальной РЗМ/ПМ сверхрешетке во внешних полях могут существовать три основные фазы: 1) фаза, где спины РЗМ параллельны, а спины ПМ антипараллельны

внешнему полю  $H$  (наблюдается ниже температуры компенсации  $T_{\text{comp}}$ ); 2) спины ПМ параллельны, а РЗМ антипараллельны  $H$  (выше  $T_{\text{comp}}$ ); 3) неколлинеарная фаза, когда спины каждого атомного ряда в металлических слоях образуют различные углы с направлением внешнего поля. Последняя ситуация возникает, когда величина  $H$  оказывается достаточной для преодоления антиферромагнитного взаимодействия между слоями. Расчеты показывают, что поля перехода слоистых структур в неколлинеарную фазу  $H_t$  возрастают по мере удаления от  $T_{\text{comp}}$  (как и в двухподрешеточных ферримагнетиках), однако они являются более низкими по сравнению с полями фазового перехода ферримагнитных сплавов аналогичного состава. Кроме того, в конечной слоистой РЗМ/ПМ структуре процесс возникновения неколлинеарной фазы зависит от типа поверхностного слоя (РЗМ или ПМ) [4]. В такой структуре может наблюдаться поверхностный фазовый переход в полях, при которых основная часть пленки находится еще в коллинеарной фазе. Глубина проникновения поверхностной фазы в пленку может достигать нескольких периодов структуры (нескольких сотен ангстрем).

Свойства ферримагнитных многослойных пленок оказываются весьма чувствительными к изменению их параметров, которые в целом поддаются управлению. Так, вариация соотношения толщин слоев РЗМ и ПМ [3], изменение периода структуры [5] и внедрение между магнитными слоями немагнитной прослойки [6] приводят как к смещению  $T_{\text{comp}}$ , так и к изменению  $H_t$ .

В представленной работе приведены результаты исследований процесса перемагничивания пленки типа Gd/Si/Co. Наличие кремниевой прослойки, с одной стороны, ослабляет межслоевое обменное взаимодействие через интерфейс и тем самым делает возможным существование неколлинеарной фазы в широкой области полей и температур, доступных для исследования, с другой — препятствует формированию GdCo соединений, имеющих специфические магнитные свойства [2]. Основной целью работы было изучение индуцированных полем переходов в неколлинеарную фазу и построение магнитной фазовой  $H$ - $T$ -диаграммы. Экспериментальные данные получены при помощи магнитооптических исследований, весьма чувствительных к изменению магнитной структуры образца, а также путем измерений намагниченности на СКВИД магнитометре.

## Эксперимент

Тонкая многослойная пленка состава  $[\text{Co}(30 \text{ \AA})/\text{Si}(5 \text{ \AA})/\text{Gd}(75 \text{ \AA})/\text{Si}(5 \text{ \AA})]_{20}$  была получена методом ионного высокочастотного распыления на стеклянную подложку при базовом давлении  $10^{-6}$  Торр и давлении рабочего газа (Ar)  $10^{-4}$  Торр. Процесс напыления происходил при температуре не более  $100^\circ\text{C}$ . Скорость осаждения Gd, Co и Si, по результатам предварительной градуировки, составляла  $1, 0,4$  и  $0,3 \text{ \AA}/\text{s}$  соответственно. Верхним слоем пленки являлся гадолиний. Пленка имела буферный и защитный поверхностный слой кремния толщиной  $200 \text{ \AA}$ .

Магнитооптические исследования проведены с использованием меридионального эффекта Керра. Магнитное поле было ориентировано в плоскости падения луча Не-Не лазера (длина волны  $633 \text{ nm}$ ) параллельно пленке. Угол поворота плоскости поляризации отраженного света  $\Phi$  измерялся в зависимости от величины внешнего поля. В данной геометрии керровское вращение плоскости поляризации пропорционально компоненте намагниченности  $M$ , лежащей в плоскости пленки параллельно плоскости падения света. Образец помещали на хладопровод, находящийся в вакууме внутри сверхпроводящего соленоида.

Измерения намагниченности проведены на СКВИД магнитометре MPMS-5 Quantum Design.

На рис. 1 представлена температурная зависимость спонтанной намагниченности  $M_s$ , измеренная на СКВИД магнитометре во внешнем поле  $H = 500 \text{ E}$ . Значения  $M_s$  соответствуют объему, который занимают вещества, обладающие собст-

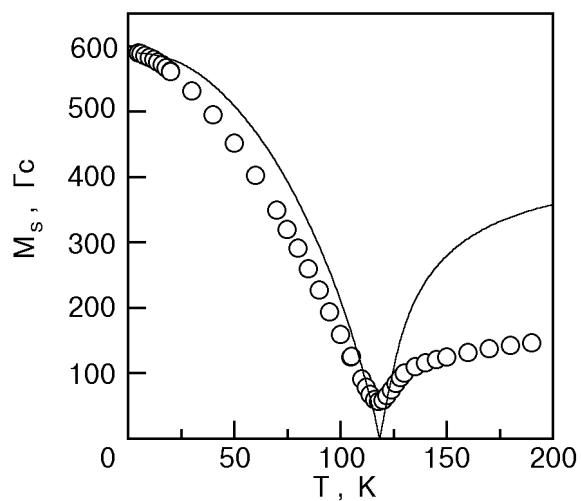


Рис. 1. Температурная зависимость спонтанной намагниченности пленки  $[\text{Co}(30 \text{ \AA})/\text{Si}(5 \text{ \AA})/\text{Gd}(75 \text{ \AA})/\text{Si}(5 \text{ \AA})]_{20}$ , измеренная во внешнем поле  $H = 500 \text{ E}$ .  $\circ$  — экспериментальные данные, сплошная линия — расчетная зависимость.

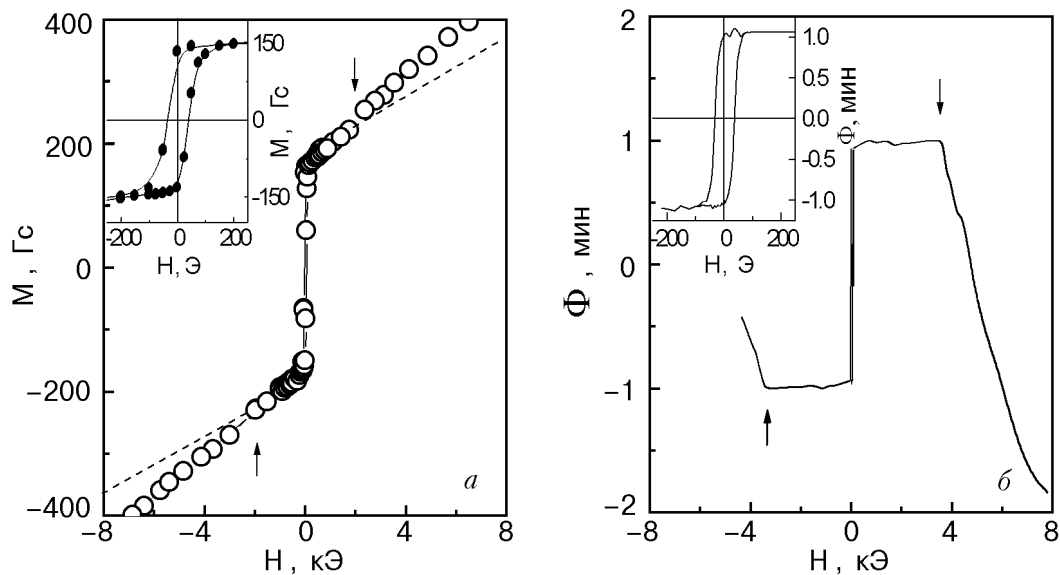


Рис. 2. Полевые зависимости намагниченности (а) и керровского вращения (б) при  $T = 97$  К. Излом на кривых  $M(H)$  и  $\Phi(H)$  соответствует переходу в неколлинеарное состояние. На вставках в более крупном масштабе показаны зависимости  $M(H)$  и  $\Phi(H)$  в малых полях.

венным магнитным моментом (Со и Gd). Результаты измерений свидетельствуют о сохранении антиферромагнитного упорядочения магнитных моментов слоев Со и Gd при данной толщине кремниевой прослойки. Экспериментальная кричая имеет четкий минимум при 118 К, обусловленный компенсацией магнитных моментов слоев Gd и Со. Отличие от нуля минимального значения намагниченности может быть связано с некоторой неоднородностью пленки, а также с возникновением при  $T \approx T_{\text{comp}}$  неколлинеарной фазы в поле  $H = 500$  Э. Увеличение температуры от 5 К до температуры компенсации приводит к достаточно быстрому падению спонтанной намагниченности. С увеличением температуры при  $T > T_{\text{comp}}$  намагниченность вначале быстро, а затем все медленнее увеличивается, стремясь к насыщению.

Характерные полевые зависимости намагниченности  $M$  и керровского вращения  $\Phi$ , измеренные в пленке Gd/Si/Сo, представлены на рис. 2. В малых полях на обеих зависимостях четко наблюдается гистерезис (см. вставки), связанный с образованием доменов обратной намагниченности и движением доменных стенок. При достижении некоторого значения внешнего поля на кривых  $M(H)$  и  $\Phi(H)$  наблюдается излом (отмечен стрелками и пунктиром на рис. 2, а и 2, б), соответствующий переходу в неколлинеарное состояние. При этом происходит увеличение магнитной восприимчивости  $dM/dH$  (рис. 2, а). Как видно на рис. 2, переход в неколлинеарное состояние проявляется значительно более четко на полевой за-

висимости керровского вращения, чем на полевой зависимости намагниченности.

С целью построения фазовой  $H-T$ -диаграммы исследуемой пленки были измерены зависимости намагниченности и керровского вращения при различных температурах. На рис. 3 представлены полученные зависимости  $M(H)$  и  $\Phi(H)$ . При нагревании пленки излом, связанный с переходом в неколлинеарную фазу, все слабее проявляется на кривых намагниченности, а в области температур, превышающих температуру компенсации, его не удается заметить. С ростом температуры величины магнитной восприимчивости в коллинеарной и неколлинеарной фазах сближаются, что затрудняет определение точки фазового перехода на зависимости  $M(H)$  при температурах  $T \leq T_{\text{comp}}$  и  $T > T_{\text{comp}}$ . В то же время на полевых зависимостях керровского вращения переход четко идентифицируется вплоть до 140 К.

По результатам экспериментов построена фазовая  $H-T$ -диаграмма, приведенная на рис. 4. Данные, полученные из магнитных и магнитооптических измерений, удовлетворительно согласуются между собой. В интервале  $5$  К  $< T < T_{\text{comp}}$  величина поля фазового перехода в неколлинеарное состояние уменьшается с увеличением температуры, а при  $T_{\text{comp}} < T < 140$  К поле перехода практически не изменяется с температурой. В окрестности  $T_{\text{comp}}$  определение  $H_t$  затруднено из-за близости величин поля фазового перехода и поля коэрцитивности. При  $T \rightarrow T_{\text{comp}}$  поле коэрцитивности возрастает, тогда как  $H_t$  уменьшается.

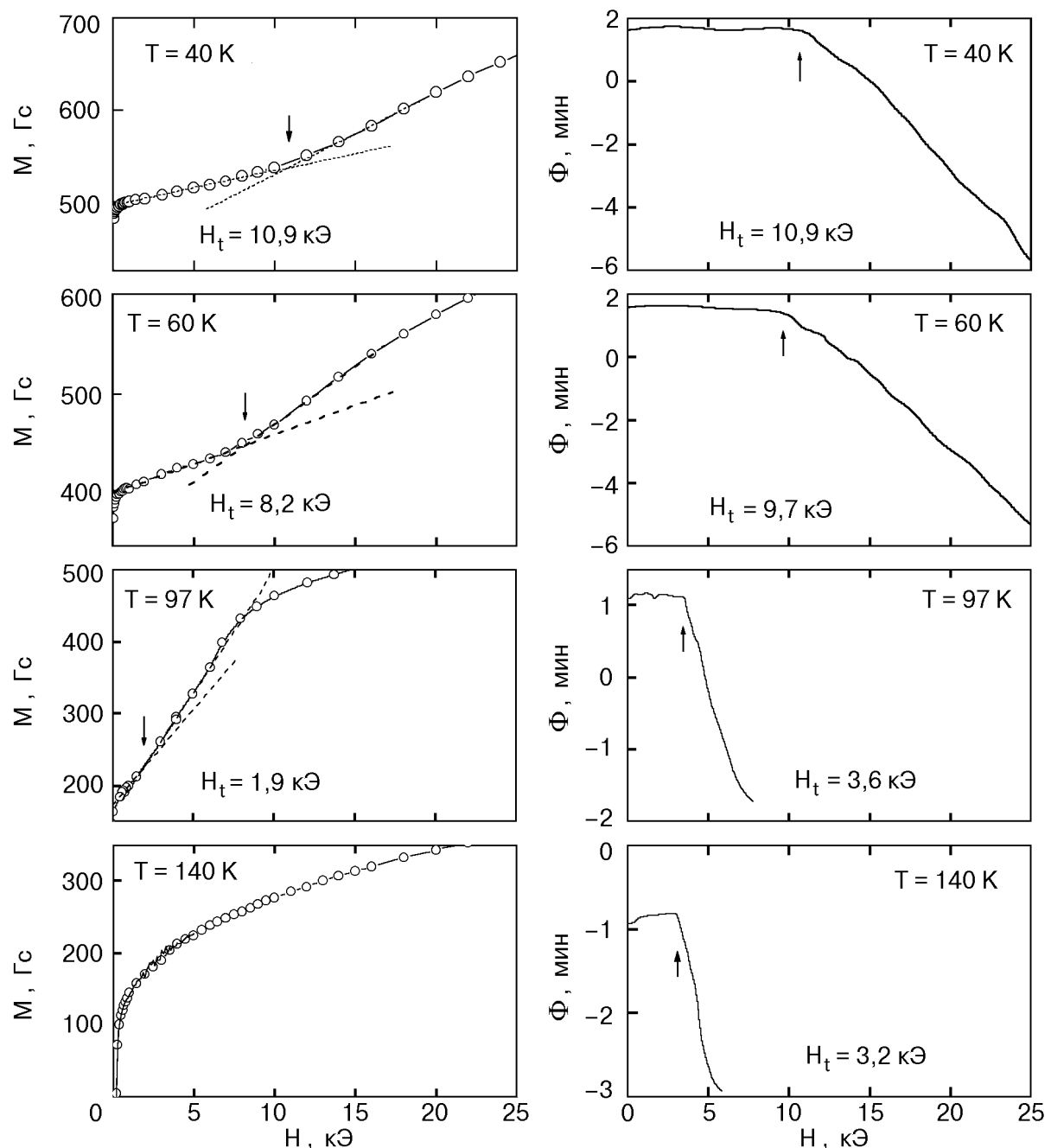


Рис. 3. Полевые зависимости намагниченности (слева) и керровского вращения (справа) при различных температурах.

### Обсуждение

Известно, что спонтанная намагниченность ферримагнетика определяется как разность парциальных намагниченностей составляющих его подсистем. В многослойной пленке величины и температурный ход этих намагниченностей зависят от толщин слоев магнитных компонент структуры и констант внутрислоевого и межслоевого обменного взаимодействия. Поле спин-ориентационного перехода в неколлинеарное состояние в многослойной пленке при заданной температуре также является функцией намагниченостей

слоев и этих обменных констант. Таким образом, в целях построения теоретической фазовой  $H$ - $T$ -диаграммы нами проведен расчет температурной зависимости намагниченности пленки. Сопоставление результатов этого расчета с экспериментальной зависимостью  $M_s(T)$  позволяет найти параметры, необходимые для расчета  $H_t$ . Определение межслоевого обменного взаимодействия особенно важно для пленки с немагнитной прошлой, где оно претерпевает значительное изменение, которое сложно оценить аналитически.

Для расчета  $M_s(T)$  воспользуемся моделью, предложенной в [7]. Согласно этой модели, для

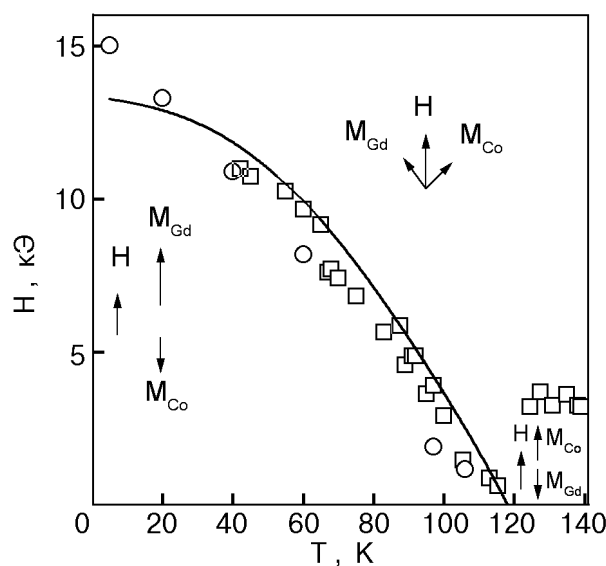


Рис. 4. Фазовая  $H$ - $T$ -диаграмма пленки  $[Co(30 \text{ \AA})/Si(5 \text{ \AA})/Gd(75 \text{ \AA})/Si(5 \text{ \AA})]_{20}$ .  $\circ$  — данные получены из измерений намагниченности,  $\square$  — из магнитооптических измерений. Расчетная зависимость показана сплошной линией.

описания температурной зависимости спонтанной намагниченности многослойной пленки типа  $Gd/Co$  можно воспользоваться теорией молекуллярного поля, учитывающей неоднородность межслоевого обменного взаимодействия по толщине слоев РЗМ. Предполагается, что температурная зависимость намагниченности слоев РЗМ ( $Gd$ ) определяется как собственным обменным взаимодействием, так и воздействием со стороны ПМ ( $Co$ ). Последнее уменьшается от поверхности к центру слоев  $Gd$  по экспоненциальному закону. В то же время считается, что слои  $Co$  находятся только в собственном молекуллярном поле (так как в слоях  $Co$  внутрислоевое обменное взаимодействие намного больше межслоевого), которое и определяет температурную зависимость намагниченности кобальтовой подсистемы. Таким образом, имеем

$$H_{Co} = \lambda_{CoCo} M_{Co}, \quad H_{Gd} = \lambda_{GdGd} M_{Gd} + \\ + \lambda_{CoGd} M_{Co} \{ \exp(-\gamma z) + \exp[-\gamma(l_{Gd} - z)] \}, \quad (1)$$

где  $H_{Co}$  и  $H_{Gd}$  — молекуллярные поля, действующие на слои  $Co$  и  $Gd$ ;  $M_{Co}$  и  $M_{Gd}$  — намагниченности этих слоев;  $\lambda_{CoCo}$ ,  $\lambda_{GdGd}$  и  $\lambda_{CoGd}$  — соответствующие константы молекуллярных полей;  $\gamma$  — коэффициент затухания молекуллярного поля, действующего на  $Gd$  со стороны  $Co$ ;  $z$  — координата вдоль нормали к поверхности слоя  $Gd$ ;  $l_{Gd}$  — толщина слоя гадолиния. Спонтанная

намагниченность пленки выражается через намагниченности подсистем, температурный ход которых определяется функцией Бриллюэна  $B_s(x)$ . Однако в интересующем нас интервале температур парциальная намагниченность кобальтовой подсистемы практически постоянна, так что можно записать

$$M_s(T) = \\ = \left| l_1 M_{Gd}(0) B_s(g_{Gd} s_{Gd} \mu_B H_{Gd} / kT) - l_2 M_{Co}(0) \right|, \quad (2)$$

где  $g_{Gd}$  — фактор Ландé;  $s_{Gd}$  — спиновое число гадолиния;  $\mu_B$  — магнетон Бора;  $k$  — константа Больцмана;  $l_1$  и  $l_2$  — приведенные толщины слоев, определяемые как  $l_1 = l_{Gd} / (l_{Co} + l_{Gd})$ ,  $l_2 = l_{Co} / (l_{Co} + l_{Gd})$ , где  $l_{Co} = 30 \text{ \AA}$ ,  $l_{Gd} = 75 \text{ \AA}$ .

В реальных расчетах намагниченности гадолиниевой подсистемы экспоненциальная функция в (1) аппроксимировалась ступенчатой. Мы считали, что каждый слой  $Gd$  состоял из  $n$  атомных слоев, расположенных на расстоянии  $d_{Gd}$  друг от друга. В каждом из атомных слоев молекуллярное поле предполагалось постоянным, а при движении от интерфейсов в глубь гадолиниевого слоя оно экспоненциально уменьшалось. Значение  $z = 0$  присваивалось атомным слоям, граничащим с кремниевыми прослойками. Таким образом, намагниченность слоев гадолиния определялась выражением

$$M_{Gd} = \left[ \sum_{k=1}^n M_k(z_k) \right] \frac{1}{n}, \quad (3)$$

где  $n = l_{Gd} / d_{Gd}$ .

При подборе параметров, входящих в формулы (1)–(3), необходимо учитывать следующие соображения. Известно, что структурное состояние металлов в неэпитаксиальных тонких многослойных пленках может значительно изменяться. В частности, РЗМ, к которым относится и гадолиний, проявляют склонность к аморфизации. Это приводит к существенному изменению ряда свойств таких веществ, в том числе плотности и параметров магнитного упорядочения. В работе [8] изучались структурные и магнитные свойства многослойных пленок  $Gd/Si$  и  $Gd/Cu$  с различной толщиной слоев. Технология получения этих пленок была такой же, что и при получении исследуемой пленки. По данным электронной микроскопии, в пленках  $Gd/Si$  с  $l_{Gd} < 100 \text{ \AA}$  гадолиний находится в неоднофазном состоянии и представляет собой совокупность кристалличес-

кой и аморфной фаз с существенным преобладанием последней. Температура Кюри  $T_C$  аморфного гадолиния находится в пределах 130–160 К, что значительно ниже  $T_C$  объемного гадолиния. Температура Кюри гадолиния в кристаллической фазе соответствует 240–290 К. Нами исследована пленка с  $l_{\text{Gd}} = 75 \text{ \AA}$ . Учитывая результаты работы [8], естественно предположить, что в этой многослойной пленке гадолиний находится преимущественно в аморфном состоянии. Это предположение будет подтверждено далее при со-поставлении расчетной и экспериментальной температурных зависимостей намагниченности. Наилучшее совпадение этих зависимостей достигается при  $T_C \approx 130 \text{ K}$ , что соответствует температуре магнитного упорядочения аморфного гадолиния в тонких пленках [8].

Для расчета температурной зависимости спонтанной намагниченности  $M_s(T)$  исследуемой пленки необходимо знать среднее межатомное расстояние  $d_{\text{Gd}}$ . Оценим его, используя формулу

$$M_s(0) = l_1 g_{\text{Gd}} s_{\text{Gd}} \mu_B N_{\text{Gd}} - l_2 M_{\text{Co}}(0), \quad (4)$$

где  $N_{\text{Gd}} = (1/d_{\text{Gd}})^3$  – число атомов гадолиния в 1 см<sup>3</sup>. Подставляя в (4) значения  $g_{\text{Gd}} = 2$ ,  $s_{\text{Gd}} = 7/2$ ,  $M_{\text{Co}}(0) = 1400 \text{ Гс}$ , а также значение  $M_s(0) = 590 \text{ Гс}$ , полученное экспериментально для исследуемой пленки при  $T = 5 \text{ K}$ , находим  $d_{\text{Gd}} \approx 3,6 \text{ \AA}$ . При этом  $M_{\text{Gd}}(0)$  равно  $\approx 1400 \text{ Гс}$ .

Коэффициент затухания наведенного молекулярного поля  $\gamma$  в гадолинии, определенный на серии пленок Gd/Co ( $l_{\text{Gd}}/l_{\text{Co}} = 2,5$ ) с различными периодами структуры (полученной по той же технологии [7], что и исследуемая пленка), равен 0,16 Å.

Процедура расчета температурной зависимости спонтанной намагниченности сводилась к вариации параметров  $\lambda_{\text{GdGd}}$  и  $\lambda_{\text{CoGd}}$  с целью нахождения наиболее удовлетворительного описания экспериментальной зависимости  $M_s(T)$  формулами (1)–(3). На рис. 1 сплошной линией показан результат вычислений при  $\lambda_{\text{GdGd}} = 440$ ,  $\lambda_{\text{CoGd}} = 65$ . При этих параметрах расчетная зависимость наилучшим образом согласуется с экспериментальной. Отметим, что такое значение  $\lambda_{\text{GdGd}}$  соответствует температуре Кюри  $T_C \approx 130 \text{ K}$ . Найденная константа собственного молекулярного поля гадолиния  $\lambda_{\text{GdGd}}$  согласуется с данными, полученными на пленках Gd/Co [7] и Gd/Si [8]. При температурах  $T \leq T_{\text{comp}}$  расчетная температурная зависимость спонтанной намагниченности  $M_s$  находится в хорошем согласии с эксперименталь-

но определенной зависимостью  $M_s(T)$ . При более высоких температурах наблюдается существенное различие экспериментальных и расчетных данных, вызванное, вероятно, тем, что температурная зависимость намагниченности гадолиниевой подсистемы уже не описывается функцией Бриллюэна. Согласно [8], в слоях толщиной менее 100 Å гадолиний имеет аморфно-кристаллическую структуру с существенным преобладанием аморфной составляющей. Как уже отмечалось, в исследуемой пленке основная часть гадолиния находится в аморфном состоянии. При температурах значительно ниже температуры Кюри аморфного гадолиния ( $T_C \approx 130 \text{ K}$ ) определяющий вклад в намагниченность гадолиниевой подсистемы вносит аморфная компонента, и намагниченность может быть описана соответствующей функцией Бриллюэна. Однако при приближении к температуре Кюри аморфного гадолиния все более заметный вклад в намагниченность гадолиниевой подсистемы будет вносить кристаллическая компонента,  $T_C$  которой существенно выше. По-видимому, уже в районе температуры компенсации (118 K) вклад кристаллической компоненты в намагниченность приводит к тому, что температурная зависимость намагниченности не описывается функцией Бриллюэна [2]. Это объясняет заметное отличие экспериментальной и расчетной зависимостей  $M_s(T)$  в области температур выше температуры компенсации.

Следует отметить, что влияние немагнитной прослойки на свойства Gd/Co многослойной пленки проявляется прежде всего в ослаблении обменного взаимодействия между слоями различных металлов. Согласно данным, полученным на пленках Gd/Co, которые не содержат такой прослойки, величина константы антиферромагнитного обменного взаимодействия  $\lambda_{\text{CoGd}}$  составляет около 1700 [7]. Таким образом, внедрение прослойки кремния толщиной 5 Å между магнитными слоями пленки приводит к уменьшению этой константы более чем на порядок.

Для расчета фазовой  $H$ - $T$ -диаграммы мы воспользовались аналитическим методом Мотокавы [9]. Этот метод не требует сложных итерационных вычислений и позволяет определить поля перехода в неколлинеарную фазу для феримагнитно упорядоченных пленок с широким спектром параметров. Согласно Мотокаве, величина критического поля  $H_t$  равна промежуточному корню кубического уравнения:

$$(N_i N_j \alpha_1 \alpha_2) h^3 - [N_i N_j (\alpha_1 - \alpha_2) + \\ + N_i \alpha_1 \beta_2 - m N_j \alpha_2 \beta_1] h^2 - [N_i N_j - N_i (\alpha_1 - \beta_2) - \\ - m N_j (\alpha_2 - \beta_1)] h + N_i - m N_j = 0. \quad (5)$$

Здесь использованы следующие обозначения:  $N_i = l_i / 2d_i$  — половина числа атомных слоев металла  $i$  (Со или Гд) в слое толщиной  $l_i$  с расстоянием между атомными слоями  $d_i$ ;

$$m = M_j d_j / M_i d_i; \quad h = H_t d_j / \lambda_{ji} (d_i + d_j) M_i;$$

$$\alpha_1 = (N_i - 1)(N_i + 1) / 6a_i;$$

$$\alpha_2 = (N_j - 1)(N_j + 1) / 6a_j m;$$

$$\beta_1 = N_i (N_i - 1) / 2a_i;$$

$$\beta_2 = N_j (N_j - 1) / 2a_j m,$$

где  $a_i = \lambda_{ii} d_j / \lambda_{ji} (d_i + d_j)$ ;  $a_j = \lambda_{jj} d_i / \lambda_{ji} (d_i + d_j)$ . Индекс « $i$ » при  $T < T_{\text{comp}}$  обозначает Гд, а « $j$ » — Со. Значения  $M_{\text{Gd}}$ ,  $M_{\text{Co}}$ ,  $d_{\text{Gd}}$ ,  $\lambda_{\text{GdGd}}$ ,  $\lambda_{\text{GdCo}}$  использованы те же, что и при расчете  $M_s(T)$ . Константа внутреннего молекулярного поля кобальта  $\lambda_{\text{CoCo}}$ , рассчитанная по температуре Кюри этого металла ( $T_C = 1394$  К), была равна 12000. Расстояние между слоями атомов кобальта  $d_{\text{Co}}$  определялось в соответствии с величиной параметра с элементарной ячейки ГПУ кобальта ( $d_{\text{Co}} = 2,14 \text{ \AA} \approx 0,5c$ ).

Необходимые условия для корректности расчета методом Мотокавы [9] —  $H_t / \lambda_{ii} M_i \ll 1$ ,  $H_t d_i / \lambda_{ii} M_j d_j \ll 1$  — выполняются для исследуемой пленки во всем интересующем нас температурном интервале. Проведенные вычисления показывают, что кубическим членом уравнения (5) можно пренебречь.

На рис. 4 сплошной линией показана расчетная температурная зависимость полей перехода в неколлинеарное состояние при  $T < T_{\text{comp}}$ , хорошо согласующаяся с экспериментальными значениями, полученными из магнитных и магнитооптических измерений. Следует отметить, что, согласно модели Камлея, в этом интервале температур в пленке с поверхностным гадолиниевым слоем фазовый переход на поверхности и в глубине пленки должен происходить в практически одинаковых полях, так как поверхностная неколлинеарная фаза возникает в пленке со стороны подложки.

Воспользовавшись параметрами  $\lambda_{\text{GdGd}}$  и  $\lambda_{\text{GdCo}}$ , определенными из расчета  $M_s(T)$ , мы получили значения  $H_t$ , количественно согласующиеся с экспериментальными. Это подтверждает приемлемость модели молекулярного поля для пленок типа Гд/Со, содержащих немагнитные прослойки между магнитными слоями.

Выше  $T_{\text{comp}}$  расчетные значения  $H_t$  (на рис. 4 не показаны) существенно отличаются от экспериментальных, что обусловлено, как и в случае зависимости  $M_s(T)$ , не учитывающимся при расчетах влиянием кристаллической компоненты гадолиния.

## Заключение

Проведенные магнитные и магнитооптические исследования процесса намагничивания многослойной ферримагнитно упорядоченной пленки Гд/Си/Со позволили обнаружить в ней спинориентационный переход из коллинеарного в неколлинеарное состояние и построить фазовую  $H$ - $T$ -диаграмму исследуемого многослойного ферримагнетика. Показано, что теория молекулярного поля удовлетворительно описывает фазовую  $H$ - $T$ -диаграмму (как качественно, так и количественно) при  $T < T_{\text{comp}}$ . Определена константа обменного взаимодействия между слоями Со и Гд через прослойку кремния ( $l_{\text{Si}} = 5 \text{ \AA}$ ):  $\lambda_{\text{GdCo}} = 65$ , которая оказалась более чем на порядок меньше константы  $\lambda_{\text{GdCo}} \approx 1700$  для многослойных пленок Гд/Со, не содержащих кремниевых прослойек. Отсутствие количественного согласия расчетных и экспериментальных зависимостей  $M_s(T)$  и  $H_t(T)$  при  $T > T_{\text{comp}}$  связывается с неоднофазностью гадолиния в исследуемой пленке.

1. C. Dufour, Ph. Bauer, M. Sajeddine, K. Cherifi, G. Marshall, Ph. Mangin, and R. E. Camley, *J. Magn. Magn. Mater.* **121**, 300 (1993).
2. D. J. Webb, R. G. Wamsley, K. Parvin, P. H. Dickinson, T. H. Geballe, and R. M. White, *Phys. Rev.* **B32**, 4667 (1985).
3. R. E. Camley and D. R. Tilley, *Phys. Rev.* **B37**, 3413 (1988).
4. L. G. Le Page and R. E. Camley, *Phys. Rev. Lett.* **65**, 1150 (1990).
5. K. Takanashi, Y. Kamiguchi, H. Fujimori, and M. Motokawa, *J. Phys. Soc. Jpn.* **61**, 3721 (1992).
6. K. Takanashi, H. Fujimori, and H. Kurokawa, *J. Magn. Magn. Mater.* **126**, 242 (1993).
7. В. О. Васьковский, Д. Гарсиа, А. В. Свалов, М. Баскес, Г. В. Курляндская, А. В. Горбунов, *ФММ* **86**, 140 (1998).
8. В. О. Васьковский, А. В. Свалов, А. В. Горбунов, Н. Н. Щеголева, С. М. Задворкин, *ФТТ* **73**, вып. 4 (2001).
9. M. Motokawa, *Prog. Theor. Phys. Suppl.* **101**, 537 (1990).

**Phase H-T-diagram of multilayered Gd/Si/Co film with a ferrimagnetic ordering of layers**

D. N. Merenkov, A. B. Chizhik, S. L. Gnatchenko,  
M. Baran, R. Szymczak,  
V. O. Vas'kovskiy, and A. V. Svalov

The magnetization process of the multilayered  $[Co(30 \text{ \AA})/Si(5 \text{ \AA})/Gd(75 \text{ \AA})/Si(5 \text{ \AA})]_{20}$  film with a ferrimagnetic ordering of the magnetic moments of cobalt and gadolinium layers and the compensation point  $T_{\text{comp}} \approx 118 \text{ K}$  was studied by the magnetic

and magneto-optical techniques. A magnetic field induced spin-orientation transition from the collinear to a noncollinear state was observed. The transition fields were defined in the temperature region  $5 \text{ K} < T < 140 \text{ K}$  and a magnetic phase H-T-diagram of the multilayered ferrimagnet Gd/Si/Co was constructed. The phase diagram was also calculated in terms of the molecular field theory, and a satisfactory agreement with the experimental one was obtained. A constant of the antiferromagnetic exchange interaction between the cobalt and gadolinium layers was determined.